

محاسبه‌ی ضربیب رفتار سازه‌های مهاربندی‌شده‌ی هم محور فولادی

مجید صادق‌آذر (دانشیار)
مهدی خفوی (کارشناس ارشد)
دانشکده‌ی فنی - گروه مهندسی عمران، دانشگاه تهران

در این نوشتار بعد از نگاهی گذرا به اهمیت ضربیب رفتار و کاربرد آن در سازه‌ها، محتوای این ضربیب و عوامل مؤثر بر مقدار آن مورد بررسی قرار گرفته است. همچنین نحوه‌ی محاسبه‌ی این ضربیب توسط یکی از روش‌های متداول، یعنی روش ارائه شده توسط فریمن مورد بررسی قرار گرفته است. سپس پارامترهای مورد استفاده در این تحقیق برای محاسبه‌ی ضربیب رفتار ارائه شده و ضربیب رفتار قاب‌های دوبعدی مهاربندی‌شده‌ی هم محور فولادی، به دو صورت ضربیبری و A شکل، با در نظر گرفتن درصد گیرداری تیر به ستون و پایی ستون؛ و نیز درصد سخت‌شدگی کرنش به صورت نسبی از مدلول یانگ محاسبه شده است؛ و در نهایت مقادیر بدست آمده مورد بحث و بررسی قرار گرفته است.

اعضای غیرسازه‌ی انگشتی دچار خرابی می‌شوند و اکثر قابل استفاده‌اند. یعنی جانی. خسارت کلی ساختمان در این سطح عملکرد در حد متوسط است. در مورد اعضای سازه‌ی، سختی و مقاومت باقیمانده در تمام طبقات وجود دارد به‌طوری که سیستم باربر تقلی عمل می‌کند، ولی تغییرشکل ماندگار در سازه وجود دارد. در این سطح عملکرد بسیاری از تأسیسات ساختمان و عناصر معماری صدمه می‌بیند. آستانه‌ی فروریزش. در این سطح خسارت کلی شدید، سختی و مقاومت باقیمانده اعضای سازه‌ی بسیار ناچیز، تغییرشکل‌های ماندگار زیاد، و دیوارها و دست‌اندازه‌های مهاربندی‌شده گسیخته شده و ساختمان در آستانه فروریزش قرار می‌گیرد. در اعضای غیرسازه‌ی خرابی گستردۀ ایجاد می‌شود با این وجود ستون‌ها و دیوارها هنوز عمل می‌کنند.

تغییر شکل جانبی سازه در مورد هر یک از سطوح فوق و با توجه به سیستم سازه‌ی به مقداری محدود شده است که این مقدار در مورد قاب مهاربندی‌شده برای سطح عملکرد این‌جای ۱/۵ درصد و سطح آستانه‌ی فروریزش ۲ درصد ارتفاع سازه است.^{[۱][۲]}

۳. پارامترهای مؤثر در ضربیب رفتار

پارامترهای اصلی مؤثر بر مقدار ضربیب رفتار، عبارت است از: ضربیب کاهش نیرو در اثر شکل‌پذیری اجزای سازه (R_{μ})، و ضربیب اضافه مقاومت (R_s).

۳.۱. ضربیب کاهش نیرو در اثر شکل‌پذیری (R_{μ})

سازه‌ها بر اثر شکل‌پذیری، مقدار قابل توجهی از انرژی زلزله را به صورت پس‌ماند مستهلك کرده، مقدار نیروهای واردۀ را کاهش می‌دهند و اثر

۱. مقدمه با توجه به اثر تخریبی زلزله‌های اخیر بر سازه‌ها، مشاهده شده است که برخی از روش‌های کنونی طراحی لرزه‌ی از دقت کافی برخوردار نیستند و لزوم اصلاح آن‌ها احساس می‌شود. در تحقیقات صورت گرفته سعی شده است تا با استفاده از روش‌های طراحی با سطح عملکرد سازه، برخی از پارامترهای طراحی لرزه‌ی کنونی اصلاح شود. یکی از پارامترهای مهم و اساسی ضربیب رفتار سازه است که متأسفانه در حال حاضر روش مناسب تعیین و استفاده از آن در طراحی لرزه‌ی در آین نامه وارد نشده است. در این نوشتار نسبت به محاسبه و مقایسه‌ی ضربیب رفتار سازه‌های فولادی مهاربندی‌شده‌ی هم محور اقدام شده است.

۲. سطوح عملکرد سازه

سطح عملکرد ساختمان براساس سطح عملکرد اجزای سازه‌ی و غیرسازه‌ی آن تعیین می‌شود، و در آن تغییرشکل تراز بام ساختمان محدود می‌شود. خسارت احتمالی برای چهار سطح مختلف عملکرد ساختمان در حالت وقوع زلزله چنین تعریف شده است^{[۱][۲]}: خدمت‌رسانی بی‌وقفه. در این سطح، خسارت کلی ساختمان بسیار کم است. سختی و مقاومت اعضای سازه‌ی تقریباً تغییری نکرده و تغییرشکل ماندگار و ترک خورده‌ی در این اعضا ایجاد نمی‌شود. درمورد اعضا غیرسازه‌ی، تمام سیستم‌های لازم برای عملکرد ساختمان فعال باقی مانند.

قابلیت استفاده‌ی بی‌وقفه. در این سطح عملکرد خسارت کلی ساختمان و همچنین تغییر سختی و مقاومت اعضای سازه‌ی کم است.

در هنگام زلزله نرم‌ترو پریود ارتعاش و میرایی آن بیشتر می‌شود و نتیجتاً نیروی وارد به سازه کاهش می‌یابد. اگر میرایی سازه را در هنگام وقوع زلزله به جای 3 درصد، معادل 7 درصد در نظر بگیریم، طیف خطی نیروهای زلزله کاهش می‌یابد. حال اگر پریود اولیه سازه را پریود محسوباتی یا پریود حاصل از روابط آین نامه‌ی در نظر بگیریم، این پریود در اثر اعمال زلزله و تغییر سختی سازه به پریود غیرخطی سازه تبدیل می‌شود. مقدار احتیاجات زلزله از تقسیم مقدار نیروی مورد لزوم برای سازه در طیف خطی با 3 درصد میرایی و پریود ارتعاشی اولیه بر مقدار نیرو در طیف غیرخطی با 7 درصد میرایی و پریود غیرکشسانی آن به دست می‌آید.^[۲]

ضریب رفتار ناشی از ظرفیت سازه از رابطه‌ی $R_c = C_u / C_D$ به دست می‌آید که در آن C_u برش پایه‌ی بیشینه در حالت نهایی به وزن سازه و C_D برش پایه‌ی محسوباتی توسط آین نامه بر وزن سازه است. ضریب رفتار ناشی از احتیاجات لرزه‌ی از رابطه $R_D = S_{a1} / S_{a2}$ به دست می‌آید که در آن S_{a1} شتاب طیفی حاصل از طیف 3 درصد میرایی برای پریود خطی سازه، و S_{a2} شتاب طیفی حاصل از طیف 7 درصد میرایی برای پریود غیرخطی (پریود در لحظه نهایی) سازه است.

ضریب رفتار کلی سازه از حاصل ضرب دو مقدار R_D و R_C به دست خواهد آمد:

$$R = R_c \cdot R_D$$

۵. مشخصات کلی قاب‌های مورد بررسی

دو نوع مهاربند ضربه‌بری و Δ شکل مورد بررسی قرار گرفته است. تعداد دهانه‌های مهاربندی 1 و 2 دهانه و عرض دهانه‌ها 3 ، 4 و 5 متر است (شکل ۱). تعداد طبقات 2 ، 4 ، 6 ، 8 ، 10 و 15 طبقه فرض شده است. در تحلیل و طراحی قاب‌ها، اتصالات تیر به ستون به صورت مفصلی و نیمه‌گیردار در نظر گرفته شده است. قاب‌های انتخابی، قاب‌های کناری یک ساختمان هستند که فاصله‌ی دو دهانه‌ی جانبی آن‌ها 2×4 متر است. سطح بارگیر یک مهاربند در هر طبقه 48 مترمربع است که در قاب‌های دو دهانه (با دو مهاربند) به 96 مترمربع افزایش یافته است. ارتفاع هر طبقه 3 متر فرض شده است (شکل ۱).

سیستم سقف به صورت یک طرفه است، به طوری که بارهای قائم بر روی قاب مورد نظر اعمال می‌شود. به دلیل استفاده از قاب‌های کناری، بار دیوارهای اطراف ساختمان نیز به این قاب‌ها وارد می‌شود. با توجه به جزئیات اجرایی سقف، مقدار بارگسترهای سقف 600 کیلوگرم بر مترمربع، بار دیوارهای اطراف 70 کیلوگرم بر متر و مقدار بار

ضریب کاهش نیرو را به همراه دارد. مقدار استهلاک انرژی بستگی به میزان شکل‌پذیری کلی سازه دارد.

براساس مطالعات انجام یافته مشخص شده است که ضریب کاهش نیرو نه تنها به مشخصات سیستم بلکه به مشخصه‌های حرکات زمین نیز بستگی دارد. برای حرکت زمین، (R_μ) تابعی است از پریود نوسان سازه (T)، میرایی، نوع رفتار پسماند و میزان تغییرشکل غیرخطی سازه (ضریب شکل‌پذیری μ)، که تأثیر پریود نوسان و میزان تغییرشکل غیرخطی بیشتر از دو مورد دیگر است. همچنین در محدوده‌های بالای پریود، این ضریب تقریباً مستقل از پریود بوده و تقریباً مساوی شکل‌پذیری سازه است؛ در محدوده پائین پریود نیز این ضریب به شدت به پریود وابسته است. برای سازه‌های خیلی صلب ($T \cong 0^\circ$) که کاهش نیرو در اثر شکل‌پذیری غیرممکن است، این ضریب برابر 1 است.

۲.۳. ضریب اضافه مقاومت $\{R_s\}$

مقدار مقاومت ذخیره شده در سازه از حد مقاومت اولیه‌ی جاری شدن محسوس سازه (C_s) تا حد مقاومت نهایی سازه (فروریزش سازه، C_y) اضافه مقاومت سازه نامیده می‌شود. در واقع مقدار مقاومتی که بر اثر عوامل مختلف (از جمله مشخصات مصالح) در سازه ذخیره شده و انعدام سازه را به تأخیر می‌اندازد «اضافه مقاومت سازه» است. مقدار اضافه مقاومت موجود در سازه‌های واقعی بسیار متغیر است و به نوع مصالح مصرفی، نوع سیستم سازه‌یی، شکل کلی سازه از نظر هندسی، تعداد طبقات، جزئیات اجرایی، نوع و تاریخ آین نامه‌ی طراحی سازه و ... بستگی دارد.

۴. تعیین ضریب رفتار با استفاده از روش فریمن^[۳]

فریمن تمام پارامترهای مؤثر بر ضریب رفتار را در دو پارامتر اصلی «ظرفیت جانبی نهایی سازه» و «احتیاجات زلزله» خلاصه کرده است. ظرفیت جانبی نهایی سازه با انجام یک تحلیل استاتیکی غیرخطی پیش‌رونده و با به دست آوردن منحنی تغییر شکل‌نیرو تعیین می‌شود. در واقع این ضریب همان ضریب اضافه مقاومت (R_s) تعریف شده در قسمت‌های گذشته است.

احتیاجات زلزله‌یی (لرزه‌یی) در واقع بیان‌کننده نیرویی است که در هنگام وقوع زلزله به سازه وارد می‌شود. این نیرو در هنگام وقوع زلزله، به دلیل وجود رفتار غیرخطی و اتلاف انرژی ناشی از رفتار پسماند و افزایش میرایی سازه، کم‌تر از حالت رفتار خطی است. در واقع احتیاجات زلزله همان ضریب کاهش نیرو بر اثر شکل‌پذیری (R_μ) است که در قسمت قبلی تعریف شده برای به دست آوردن احتیاجات زلزله روشی ارائه شده است که در زیر به آن اشاره می‌کنیم:
به دلیل وجود رفتار غیرخطی سازه و تشکیل مفاصل خمیری، سازه

در تحلیل غیرخطی قاب‌ها، مشخصات فولاد (با تنش تسخیم $E = 2,1 \times 10^6$ کیلوگرم بر سانتی‌مترمربع و مدول یانگ $F_y = 240$ کیلوگرم بر سانتی‌متر مربع) به صورت یک رابطه‌ی دوخطی با کرنش سخت‌شوندگی و میزان سخت‌شدنگی e_2 به میزان ۱٪، ۳٪، ۵٪ و ۷٪ از مدول یانگ در نظر گرفته شده است (شکل ۲).

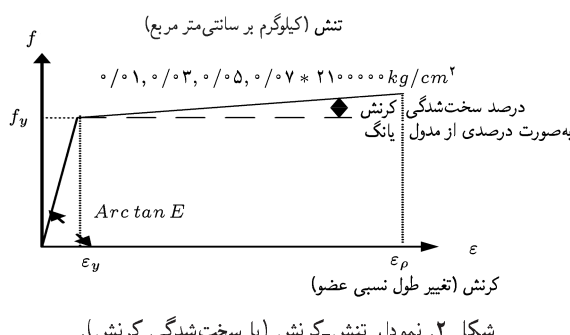
قباها به صورت دو بعدی با اتصالات تیر به ستون و درصد گیرداری ۴۰٪، ۶۰٪ و ۸۰٪ اتصالات پای ستون ۲۰٪، ۴۰٪، ۶۰٪، ۸۰٪ و ۱۰۰٪ مدل شده است (شکل ۳). مقاطع اعضای قاب‌ها بگونه‌یی انتخاب شده‌اند که در آنها نسبت تنش موجود به تنش مجاز بین ۹۶٪ تا ۱۰۰٪ قرار دارد.

شکل پذیری

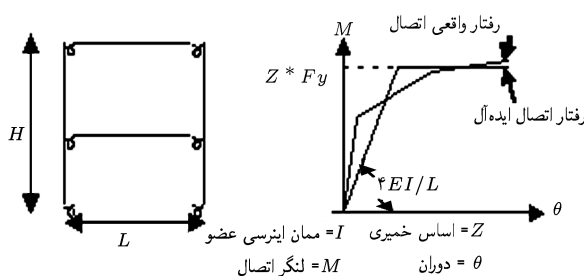
شکل پذیری در یک سازه به شکل پذیری کلی سازه و شکل پذیری محلی تقسیم می‌شود. درمورد شکل پذیری محلی، چرخش خمیری مقطع (θ_p)، و کرنش خمیری مقاطع خربایی (ϵ_p) را به بیشینه‌ی آن یعنی به ترتیب ۳٪ و ۲۱٪ محدود کرده‌ایم که برای گسیختگی عضو مقدار مناسبی است.^[۲] شایان ذکر است که چون کمانش مقاطع خربایی

جدول ۱. شماره‌ی مقاطع در نظر گرفته شده برای IPE و UNP.

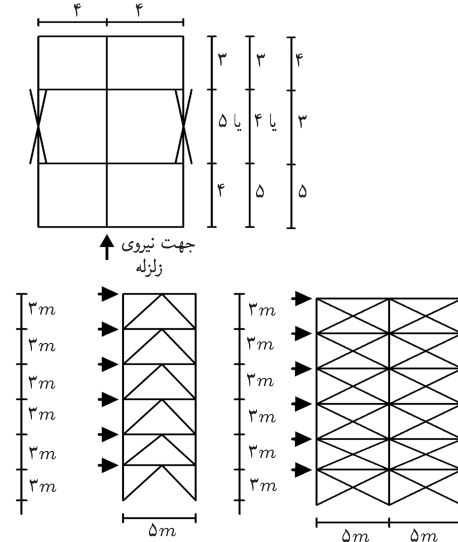
...	۲۴	۲۳	...	۹	۸/۵	۸	IPE...
...	۲۱	۲۰	...	۷	۶/۵	۶	UNP...



شکل ۲. نمودار تنش-کرنش (با سخت‌شدنگی کرنش).



شکل ۳. اتصال فنری برای تیر به ستون و پای ستون و رفتار اتصال باگیرداری ۱۰٪.



شکل ۱. مشخصات کلی قاب‌های مورد بررسی.

زنده برای آن‌ها (با توجه به کاربری مسکونی برای ساختمان مورد نظر) برابر ۲۰۰ کیلوگرم بر مترمربع در نظر گرفته شده است. در محاسبه‌ی وزن سازه برای نیروی زلزله، ۲۰ درصد بار زنده اعمال شده است. بار جانی برای طراحی از روش استاتیکی معادل آینه‌نامه‌ی زلزله ۲۸۰ ایران (سال ۱۳۷۶) بدست آمده و براساس پارامترهای آن در ارتفاع قاب پخش شده است.

در تحلیل قاب‌های مورد نظر شتاب مبنای طرح با توجه به منطقه با خطر نسبی زیاد ($A = ۳/۰$) و زمین نوع IV با $T_c = ۱$ و همچنین ساختمان مسکونی با قاب ساده و مهاربندی هم محور فولادی با ضرایب $I = ۱$ و $R = ۶$ تعیین شده است. در هر دو حالت خطی و غیرخطی تحلیل به صورت استاتیکی انجام شده است. مقاطع مورد استفاده برای ستون‌ها عبارت‌انداز ۲IPE با فاصله‌ی برابر ارتفاع مقاطع (مرکز تا مرکز) و برای تیرها ۲IPE بهم جنبشید و برای بادبندها از دو پروفیل ناوданی. که به صورت مقاطع قوطی در کنار هم قرار گرفته است.

شماره‌ی مقاطع در نظر گرفته شده برای IPE و UNP در جدول ۱ آمده است. مقاطع فرضی مایین مقاطع اصلی موجود در جدول پروفیل‌ها از درون‌بایی مقاطع و ممان اینرسی پروفیل‌ها (با درون‌بایی نمودار آنها) بدست آمده است.

در حالت خطی برنامه‌ی مورد استفاده SAP ۲۰۰۰ Drain-2DX است. در هر دو حالت خطی و غیرخطی تحلیل به صورت استاتیکی انجام شده است. آینه‌نامه‌ی بارگذاری ۵۱۹ و مبحث دهم مقررات ملی ساختمان.

$P = 4$: از مقاطع فرعی برای تیرها، ستونها و مهاربندها استفاده شده و در هر ۴ طبقه، حداقل مقطع جواب‌گو به کار رفته است، یعنی تغییر مقطع ستون یا مهاربند در هر ۴ طبقه صورت می‌گیرد.

$P = 5$: از مقاطع فرعی برای تیرها، ستونها و مهاربندها استفاده شده و حداقل مقطع جواب‌گو در اولین طبقه، در سایر طبقات نیز به کار رفته است. (جداول ۲ الی ۱۵)

۲.۶. تأثیر سخت‌شوندگی کرنش بر ضریب رفتار
با توجه به جداول مشاهده می‌شود که با افزایش سخت‌شوندگی کرنش، بر مقدار R_C افزوده شده، از مقدار R_D کاسته شده و در نهایت مقدار R افزایش یافته است. همچنین ضریب R حداقل ۵۰٪ تغییر کرده که در قاب مهاربندی شده با طبقات کمتر این افزایش بیشتر است، و در قاب ۲ طبقه این مقدار بیشینه می‌شود.

۳.۶. تأثیر افزایش طبقات بر ضریب رفتار
با افزایش تعداد طبقات، مقدار ضریب رفتار کاهش می‌یابد که کمترین مقدار این ضریب را در سازه‌ی ۱۵ طبقه مشاهده می‌کنیم. ضریب R_C در سازه‌های کمتر از ۱۰ طبقه، با افزایش طبقات کاهش می‌یابد و این بدان معناست که اضافه مقاومت سازه‌های با طبقات بیشتر، کمتر است.

در سازه‌های کمتر از ۱۰ طبقه، ضریب R_D با افزایش طبقات زیاد می‌شود و این موضوع حاکی از شکل‌پذیریتر بودن این سازه‌ها است.

۴.۶. تأثیر عرض دهانه و تعداد دهانه‌های مهاربندی شده بر ضریب رفتار

با کاهش عرض دهانه، مقادیر ضریب رفتار نیز کاهش می‌یابد که بیشینه‌ی این کاهش ۱۳٪ است. تغییرات ضریب R_C نیز تقریباً شبیه

جدول ۲. مهاربندی ضربدری $\% = e_2 = \% = c = \% = b = \%$. $P = 1, \Delta R_{\max} = ۰, ۱۵H$

R	R _D	R _C	L	m	n
۱۲/۳۱	۱/۴۰۶	۸/۷۶	۵	۱	۲
۱۰/۹۰	۱/۹۴	۵/۶۲	۵	۱	۴
۱۰/۱۹	۲/۲۷	۴/۳	۵	۱	۶
۱۰/۶۷	۲/۹۴	۳/۶۳	۵	۱	۸
۱۰/۲۱	۳/۲۳	۳/۱۶	۵	۱	۱۰
۸/۸۷	۲/۸۹	۳/۰۷	۵	۱	۱۲
۶/۷۴	۱/۴۹	۴/۵۱	۵	۱	۱۵
۱۰/۴۴	۱/۹۷	۵/۴۰	۴	۱	۴
۲/۹۴	۲/۳۸	۴/۱۷	۴	۱	۸
۸/۵۳	۲/۹۶	۲/۸۸	۴	۱	۱۲
۹/۵۸	۲/۱۱	۴/۵۴	۳	۱	۴
۸/۳۴	۲/۰۷	۴/۰۳	۳	۱	۸
۷/۰۲	۱/۸۹	۳/۷۱	۳	۱	۱۲
۱۱/۲۲	۱/۸۱	۶/۲۰	۵	۲	۴
۱۰/۹۸	۲/۸۷	۴/۱۱	۵	۲	۸
۹/۱۶	۲/۷۱	۳/۳۸	۵	۲	۱۲

نیز ممکن است قبل از رسیدن به بیشینه کرنش خمیری ذکر شده اتفاق بیفتد، در نتیجه کمانش اویلر در این محاسبات در نظر گرفته شده است. در مورد شکل پذیری کلی سازه، بیشترین جایه‌جایی تراز بام به $۰, ۱۵H$ و برای مقایسه به $۰, ۲H$ نیز محدود می‌کنیم که این مقادیر به ترتیب به سطوح عملکرد این‌نی جانی و آستانه‌ی فروریزش تعلق دارند.^[۲]

۶. نتایج محاسبات^[۵]

۱.۶. علائم و اصطلاحات استفاده شده

R : ضریب رفتار سازه در روش طراحی تنش مجاز؛

R_C : ضریب ظرفیت جانبی نهایی سازه، شامل ضریب اضافه مقاومت و ضریب تنش مجاز (۱/۴)؛

R_D : ضریب احتیاجات لزجی سازه (ضریب کاهش نیرو در اثر شکل پذیری)؛

n : تعداد طبقات سازه؛

m : تعداد دهانه‌های مهاربندی شده؛

a : عرض دهانه‌ی مهاربندی شده؛

e_2 : درصد سخت‌شوندگی کرنش به صورت درصدی از مدول یانگ؛ C : درصد گیرداری اتصال پای ستون (از ۰٪ به معنی اتصال مفصلی کامل، تا ۱۰۰٪ به معنی اتصال گیردار کامل)؛

b : درصد گیری اتصال تیر به ستون (از ۰٪ به معنی اتصال مفصلی کامل تا ۱۰۰٪ به معنی اتصال گیردار کامل)؛

ΔR_{\max} : بیشینه‌ی تغییر مکان تراز بام (m)؛

H : ارتفاع تراز بام از روی پی (m). ارتفاع هر طبقه ۳ متر است که از ضرب تعداد طبقه در ۳، مقدار کل H به دست می‌آید.

منظور از مقاطع اصلی، مقاطع موجود در جدول پروفیل‌ها است، و مقاطع فرعی عبارت‌اند از مقاطع تعریف شده بین مقاطع اصلی و همچنین خود مقاطع اصلی که در بخش قبلی توضیح داده شد.

علائم به کار رفته در جدول ارائه شده عبارت‌اند از:

$O = 1$: از مقاطع اصلی برای تیرها، ستون‌ها و مهاربندها استفاده شده و در هر طبقه حداقل مقطع جواب‌گو به کار رفته است.

$O = 4$: از مقاطع اصلی برای تیرها، ستون‌ها و مهاربندها استفاده شده و در هر ۴ طبقه، حداقل مقطع جواب‌گو به کار رفته است، یعنی تغییر مقطع ستون یا مهاربند در هر ۴ طبقه صورت می‌گیرد.

$O = 15$: از مقاطع اصلی برای تیرها، ستون‌ها و مهاربندها استفاده شده و حداقل مقطع جواب‌گو در اولین طبقه، در سایر طبقات نیز به کار رفته است.

$P = 1$: از مقاطع فرعی برای تیرها، ستون‌ها و مهاربندها استفاده شده و در هر طبقه حداقل مقطع جواب‌گو به کار رفته است.

جدول ۶. مهاربندی ضربدری: $b = \%40$, $c = \%80$, $e_r = \%5$
 $P = 1$, $\Delta R_{\max} = ^{\circ}/^{\circ} 15H$

R	R _D	R _C	L	m	n
۱۲,۲۹	۱,۴۱	۸,۷۲	۵	۱	۲
۱۰,۸۸	۱,۹۴	۵,۶۱	۵	۱	۴
۱۰,۱۵	۲,۳۸	۴,۲۶	۵	۱	۶
۱۰,۵۴	۲,۹۷	۳,۵۵	۵	۱	۸
۱۰,۲۷	۳,۲۶	۳,۱۵	۵	۱	۱۰
۸,۸۸	۲,۸۹	۳,۰۷	۵	۱	۱۲
۶,۹۹	۱,۵۵	۴,۵۱	۵	۱	۱۵
۱۰,۶۰	۱,۹۷	۵,۳۸	۴	۱	۴
۹,۸۲	۲,۳۶	۴,۱۶	۴	۱	۸
۸,۵۸	۲,۹۵	۲,۹۱	۴	۱	۱۲
۹,۵۸	۲,۱۱	۴,۵۴	۳	۱	۴
۸,۴۰	۲,۱۰	۴,۰۰	۳	۱	۸
۷,۰۲	۱,۸۹	۳,۷۱	۳	۱	۱۲
۱۱,۲۴	۱,۸۱	۶,۲۱	۵	۲	۴
۱۱,۰۱	۲,۶۸	۴,۱۱	۵	۲	۸
۹,۲۴	۲,۷۱	۳,۴۱	۵	۲	۱۲

جدول ۷. مهاربندی ضربدری: $b = \%20$, $c = \%80$, $e_r = \%2$
 $P = 1$, $\Delta R_{\max} = ^{\circ}/^{\circ} 15H$

R	R _D	R _C	L	m	n
۱۰,۶۴	۱,۴۱	۷,۵۴	۵	۱	۲
۱۰,۲۴	۲,۰۲	۵,۰۷	۵	۱	۴
۹,۹۷	۲,۴۰	۴,۱۵	۵	۱	۶
۱۰,۴۰	۳,۰۸	۳,۳۸	۵	۱	۸
۱۰,۱۷	۳,۳۲	۳,۰۶	۵	۱	۱۰
۸,۸۱	۲,۹۶	۲,۹۱	۵	۱	۱۲
۶,۲۶	۱,۶۷	۳,۷۵	۵	۱	۱۵
۱۰,۱۰	۲,۰۴	۴,۹۵	۴	۱	۴
۹,۶۳	۲,۷۴	۳,۵۱	۴	۱	۸
۸,۴۳	۳,۰۱	۲,۸۰	۴	۱	۱۲
۹,۲۹	۲,۱۸	۴,۲۶	۳	۱	۴
۸,۲۹	۲,۱۹	۳,۷۹	۳	۱	۸
۶,۸۸	۱,۹۲	۳,۵۸	۳	۱	۱۲
۱۰,۹۳	۱,۸۹	۵,۷۸	۵	۲	۴
۱۰,۸۹	۲,۷۶	۳,۹۴	۵	۲	۸
۹,۱۳	۲,۸۱	۳,۲۵	۵	۲	۱۲

جدول ۸. مهاربندی ضربدری: $b = \%20$, $c = \%80$, $e_r = \%7$
 $P = 1$, $\Delta R_{\max} = ^{\circ}/^{\circ} 15H$

R	R _D	R _C	L	m	n
۱۲,۳۷	۱,۴۱	۹,۴۸	۵	۱	۲
۱۱,۱۳	۱,۸۴	۶,۰۵	۵	۱	۴
۱۰,۵۴	۲,۳۲	۴,۵۵	۵	۱	۶
۱۰,۶۶	۲,۸۸	۳,۷	۵	۱	۸
۱۰,۴۳	۳,۱۶	۳,۳۰	۵	۱	۱۰
۹,۱۹	۲,۸۷	۳,۲۱	۵	۱	۱۲
۷,۷۶	۱,۴۷	۵,۲۸	۵	۱	۱۵
۱۱,۰۰	۱,۹۲	۵,۷۳	۴	۱	۴
۹,۹۸	۲,۱۸	۴,۵۸	۴	۱	۸
۸,۵۹	۲,۸۶	۳,۰۰	۴	۱	۱۲
۹,۶۷	۲,۰۹	۴,۶۳	۳	۱	۴
۸,۴۷	۲,۰۱	۴,۲۱	۳	۱	۸
۷,۱۱	۱,۸۳	۳,۸۹	۳	۱	۱۲
۱۱,۵۸	۱,۷۰	۸,۱۶	۵	۲	۴
۱۱,۰۴	۲,۶۱	۴,۲۳	۵	۲	۸
۹,۳۱	۲,۶۳	۳,۵۴	۵	۲	۱۲

جدول ۳. مهاربندی ضربدری: $b = \%20$, $c = \%60$, $e_r = \%5$
 $P = 1$, $\Delta R_{\max} = ^{\circ}/^{\circ} 15H$

R	R _D	R _C	L	m	n
۱۲,۲۶	۱,۴۱	۸,۷۰	۵	۱	۲
۱۰,۸۸	۱,۹۴	۵,۶۱	۵	۱	۴
۱۰,۲۲	۲,۳۷	۴,۳۲	۵	۱	۶
۱۰,۶۴	۲,۹۳	۳,۶۳	۵	۱	۸
۱۰,۲۱	۳,۲۳	۳,۱۶	۵	۱	۱۰
۸,۹۰	۲,۸۹	۳,۰۸	۵	۱	۱۲
۶,۷۲	۱,۴۹	۴,۵۱	۵	۱	۱۵
۱۰,۶۶	۱,۹۷	۵,۴۱	۴	۱	۴
۹,۹۴	۲,۳۸	۴,۱۷	۴	۱	۸
۸,۵۵	۲,۹۷	۲,۸۸	۴	۱	۱۲
۹,۵۸	۲,۱۱	۴,۵۴	۳	۱	۴
۸,۴۲	۲,۰۹	۴,۰۳	۳	۱	۸
۷,۰۲	۱,۸۹	۳,۷۱	۳	۱	۱۲
۱۱,۲۴	۱,۸۱	۶,۲۱	۵	۲	۴
۱۰,۹۸	۲,۶۷	۴,۱۱	۵	۲	۸
۹,۱۶	۲,۷۱	۳,۳۸	۵	۲	۱۲

جدول ۴. مهاربندی ضربدری: $b = \%20$, $c = \%60$, $e_r = \%5$
 $P = 1$, $\Delta R_{\max} = ^{\circ}/^{\circ} 15H$

R	R _D	R _C	L	m	n
۱۲,۲۸	۱,۴۱	۸,۷۱	۵	۱	۲
۱۰,۸۳	۱,۹۴	۵,۵۸	۵	۱	۴
۱۰,۱۵	۲,۳۸	۴,۲۷	۵	۱	۶
۱۰,۵۳	۲,۹۷	۳,۵۵	۵	۱	۸
۱۰,۳۰	۳,۲۶	۳,۱۶	۵	۱	۱۰
۸,۸۴	۲,۸۸	۳,۰۷	۵	۱	۱۲
۶,۹۹	۱,۵۵	۴,۵۱	۵	۱	۱۵
۱۰,۶۰	۱,۹۷	۵,۳۸	۴	۱	۴
۹,۹۴	۲,۳۸	۴,۱۷	۴	۱	۸
۸,۵۳	۲,۹۶	۲,۸۸	۴	۱	۱۲
۹,۵۶	۲,۱۲	۴,۵۱	۳	۱	۴
۸,۳۶	۲,۰۹	۴,۰۰	۳	۱	۸
۷,۰۲	۱,۸۹	۳,۷۱	۳	۱	۱۲
۱۱,۲۰	۱,۸۱	۶,۱۹	۵	۲	۴
۱۰,۹۵	۲,۶۷	۴,۱۰	۵	۲	۸
۹,۲۰	۲,۷۱	۳,۳۹	۵	۲	۱۲

جدول ۵. مهاربندی ضربدری: $b = \%20$, $c = \%80$, $e_r = \%5$
 $P = 1$, $\Delta R_{\max} = ^{\circ}/^{\circ} 15H$

R	R _D	R _C	L	m	n
۱۲,۲۹	۱,۴۱	۸,۷۲	۵	۱	۲
۱۰,۸۳	۱,۹۴	۵,۵۸	۵	۱	۴
۱۰,۱۵	۲,۳۸	۴,۲۷	۵	۱	۶
۱۰,۵۲	۲,۹۷	۳,۵۴	۵	۱	۸
۱۰,۲۷	۳,۲۶	۳,۱۵	۵	۱	۱۰
۸,۸۸	۲,۸۹	۳,۰۷	۵	۱	۱۲
۶,۹۸	۱,۵۵	۴,۵۰	۵	۱	۱۵
۱۰,۶۰	۱,۹۷	۵,۳۸	۴	۱	۴
۹,۸۶	۲,۳۷	۴,۱۶	۴	۱	۸
۸,۵۳	۲,۹۶	۲,۸۸	۴	۱	۱۲
۹,۵۶	۲,۱۲	۴,۵۱	۳	۱	۴
۸,۴۰	۲,۰۹	۴,۰۰	۳	۱	۸
۷,۰۲	۱,۸۹	۳,۷۱	۳	۱	۱۲
۱۱,۲۰	۱,۸۱	۶,۱۹	۵	۲	۴
۱۰,۹۸	۲,۶۷	۴,۱۱	۵	۲	۸
۹,۲۰	۲,۷۱	۳,۳۹	۵	۲	۱۲

جدول ۱۴. مهاربندی ضربدری: $b = \frac{1}{20}$, $c = \frac{1}{80}$, $e_1 = \frac{1}{5}$
 $p = 1$, $\Delta R_{\max} = 1^{\circ}/15H$

R	R _D	R _C	L	m	n
۱۳,۴۶	۱,۴۱	۹,۵۵	۵	۱	۲
۱۲,۰۰	۲,۰۹	۶,۲۲	۵	۱	۴
۱۲,۳۲	۲,۵۹	۴,۷۶	۵	۱	۶
۱۲,۰۳	۲,۳۲	۳,۹۳	۵	۱	۸
۱۱,۹۶	۲,۴۹	۲,۴۳	۵	۱	۱۰
۹,۰۹	۲,۹۷	۳,۵۶	۵	۱	۱۲
۶,۹۸	۱,۵۵	۴,۵۰	۵	۱	۱۵

جدول ۱۵. مهاربندی V شکل وارونه: $b = \frac{1}{20}$, $c = \frac{1}{80}$, $e_1 = \frac{1}{5}$
 $p = 1$, $\Delta R_{\max} = 1^{\circ}/15H$

R	R _D	R _C	L	m	n
۹,۱۹	۱,۴۱	۶,۵۲	۵	۱	۲
۱۰,۸۵	۱,۹۳	۵,۶۲	۵	۱	۴
۱۰,۱۵	۲,۳۶	۴,۳۰	۵	۱	۶
۱۰,۸۳	۲,۹۱	۳,۷۲	۵	۱	۸
۱۰,۶۱	۲,۱۴	۲,۳۸	۵	۱	۱۰
۹,۲۹	۲,۶۹	۳,۴۵	۵	۱	۱۲
۷,۹۱	۱,۹۳	۴,۱۰	۵	۱	۱۵

ضریب R است، ولی کاهش عرض دهانه باعث افزایش مقدار ضریب R_D می‌شود. با افزایش h/l سازه شکل پذیری بیشتری خواهد داشت (h ارتفاع طبقه و l طول دهانه مهاربندی شده است).

۶.۵. اثر درصد گیرداری اتصالات بر ضریب رفتار با مراجعه به جداول یادشده مشاهده می‌شود که نیمه گیردار اجرایشدن اتصالات، به جای اتصالات مفصلی در سازه‌های مهاربندی شده‌ی R_D ضربدری، تأثیر محسوسی بر مقدار ضریب رفتار یا ضریب R_D و R_C ندارد. این نتیجه هم برای اتصالات تیر به ستون و هم برای اتصالات پای ستون بدست آمد.

۶.۶. اثر استفاده از مقاطع قوی‌تر در اعضاء قاب به طور کلی افزایش ابعاد مقاطع استفاده شده باعث افزایش ضریب رفتار سازه می‌شود؛ البته این افزایش مقاطع باعث کاهش ضریب R_D (که شکل پذیری نیز در این ضریب نهفته است) می‌شود و فقط افزایش اضافه مقاومت سازه باعث افزایش ضریب رفتار می‌شود.

۷.۶. اثر افزایش بیشینه‌ی جابه‌جایی تراز بام اگر بیشینه جابه‌جایی تراز بام در حالت نهایی از $1/5$ ٪ ارتفاع سازه به $2/2$ ٪ افزایش یابد (یعنی اگر سطح عملکرد سازه از اینمی جانی به آستانه‌ی فوریت‌ش تغییر یابد) مقدار ضریب رفتار بیشینه تا $17/17$ ٪ افزایش می‌یابد. البته ممکن است در بعضی موارد هیچ افزایشی در مقدار این ضریب حاصل نشود و آن حالتی است که شکل پذیری یکی از اعضاء سازه قبل از آن که جابه‌جایی تراز بام به $1/5$ ٪ ارتفاع سازه بررسد، از حد مشخص شده بیشتر شود.

جدول ۹. مهاربندی ضربدری: $b = \frac{1}{20}$, $c = \frac{1}{80}$, $e_1 = \frac{1}{5}$
 $O = 1$, $\Delta R_{\max} = 1^{\circ}/15H$

R	R _D	R _C	L	m	n
۱۴,۲۰	۱,۴۱	۱۰,۰۷	۵	۱	۲
۱۱,۰۹	۱,۸۷	۵,۹۳	۵	۱	۴
۱۰,۷۳	۲,۲۸	۴,۷۰	۵	۱	۶
۱۰,۸۰	۲,۸۱	۳,۸۵	۵	۱	۸
۱۰,۳۴	۳,۱۷	۳,۲۶	۵	۱	۱۰
۹,۱۶	۲,۷۹	۳,۲۸	۵	۱	۱۲
۷,۴۱	۱,۴۶	۵,۰۸	۵	۱	۱۵

جدول ۱۰. مهاربندی ضربدری: $b = \frac{1}{20}$, $c = \frac{1}{80}$, $e_1 = \frac{1}{5}$
 $O = ۴$, $\Delta R_{\max} = 1^{\circ}/15H$

R	R _D	R _C	L	m	n
۱۴,۲۱	۱,۴۱	۱۰,۰۸	۵	۱	۲
۱۱,۷۱	۱,۶۹	۶,۹۳	۵	۱	۴
۱۱,۷۵	۲,۱۴	۵,۴۸	۵	۱	۶
۱۰,۹۷	۲,۷۳	۴,۰۱	۵	۱	۸
۱۰,۴۱	۳,۱۱	۳,۳۵	۵	۱	۱۰
۹,۲۱	۲,۷۸	۳,۳۱	۵	۱	۱۲
۷,۴۴	۱,۴۶	۵,۱۰	۵	۱	۱۵

جدول ۱۱. مهاربندی ضربدری: $b = \frac{1}{20}$, $c = \frac{1}{80}$, $e_1 = \frac{1}{5}$
 $O = ۴$, $\Delta R_{\max} = 1^{\circ}/15H$

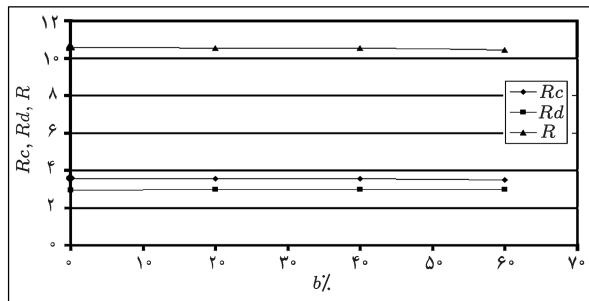
R	R _D	R _C	L	m	n
۱۲,۲۹	۱,۴۱	۸,۷۲	۵	۱	۲
۱۱,۴۶	۱,۷۴	۶,۵۹	۵	۱	۴
۱۰,۸۵	۲,۲۷	۴,۷۹	۵	۱	۶
۱۰,۷۷	۲,۸۱	۳,۸۳	۵	۱	۸
۱۰,۳۱	۳,۲۲	۳,۲۰	۵	۱	۱۰
۹,۱۰	۲,۸۱	۳,۲۴	۵	۱	۱۲
۷,۱۶	۱,۵۳	۴,۶۸	۵	۱	۱۵

جدول ۱۲. مهاربندی ضربدری: $b = \frac{1}{20}$, $c = \frac{1}{80}$, $e_1 = \frac{1}{5}$
 $O = ۱۵$, $\Delta R_{\max} = 1^{\circ}/15H$

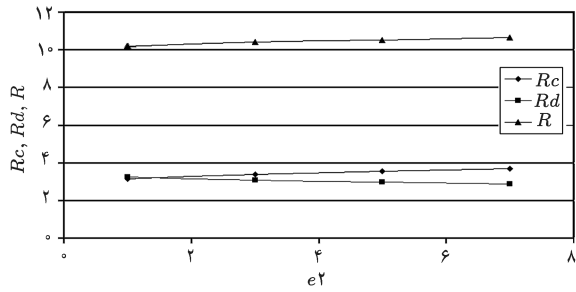
R	R _D	R _C	L	m	n
۱۴,۲۱	۱,۴۱	۱۰,۰۸	۵	۱	۲
۱۱,۷۱	۱,۶۹	۶,۹۳	۵	۱	۴
۱۲,۰۷	۲,۰۸	۵,۸۱	۵	۱	۶
۱۱,۳۰	۲,۶۱	۴,۳۲	۵	۱	۸
۱۰,۴۸	۳,۰۹	۳,۳۹	۵	۱	۱۰
۹,۴۲	۲,۶۷	۳,۵۳	۵	۱	۱۲
۷,۴۵	۱,۴۱	۵,۲۸	۵	۱	۱۵

جدول ۱۳. مهاربندی ضربدری: $b = \frac{1}{20}$, $c = \frac{1}{80}$, $e_1 = \frac{1}{5}$
 $O = ۱۵$, $\Delta R_{\max} = 1^{\circ}/15H$

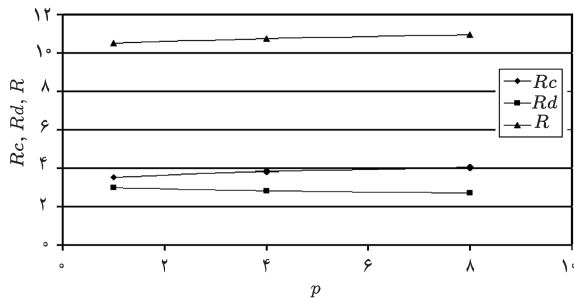
R	R _D	R _C	L	m	n
۱۲,۲۹	۱,۴۱	۸,۷۲	۵	۱	۲
۱۱,۴۶	۱,۷۴	۶,۵۹	۵	۱	۴
۱۱,۰۱	۲,۲۵	۴,۹۰	۵	۱	۶
۱۰,۹۷	۲,۷۲	۴,۰۳	۵	۱	۸
۱۰,۳۶	۳,۲۰	۳,۲۴	۵	۱	۱۰
۹,۲۴	۲,۷۹	۳,۳۱	۵	۱	۱۲
۷,۲۱	۱,۴۹	۴,۸۴	۵	۱	۱۵



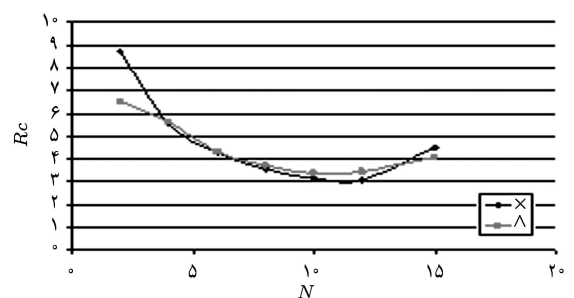
نمودار ۴. بررسی ضرایب R_c, R_d, R با تغییرات درصد گیرداری تیز به سطون مهاربندی ضربدری قاب ۸ طبقه با دهانه ۵ متر $p = 1$, $C = 18\%$, $b = 20\%$.



نمودار ۵. بررسی ضرایب R_c, R_d, R با تغییرات درصد سخت‌شدگی کرنش مهاربندی ضربدری قاب ۸ طبقه با دهانه ۵ متر $p = 1$, $C = 18\%$, $b = 20\%$.



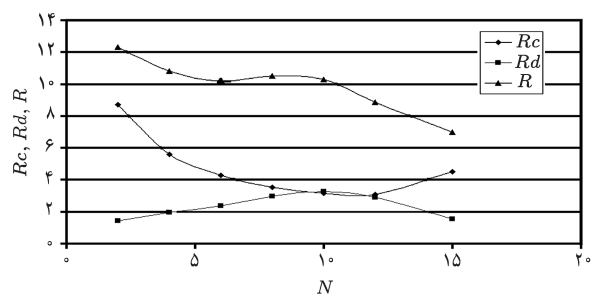
نمودار ۶. بررسی ضرایب R_c, R_d, R با تغییرات تعویض مقطع در ارتفاع مهاربندی ضربدری قاب ۸ طبقه با دهانه ۵ متر $p = 1$, $C = 18\%$, $b = 20\%$, $e = 2\%$.



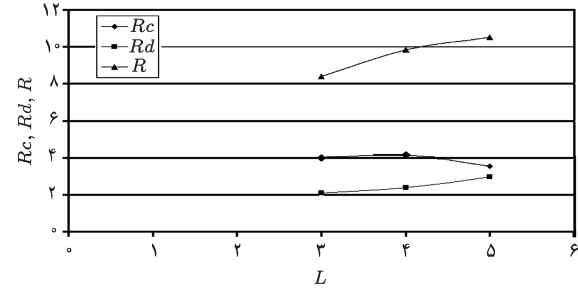
نمودار ۷. بررسی ضرایب R_c با تغییرات تعداد طبقات برای مهاربندی ضربدری و Δ شکل Δ , $e = 2\%$, $C = 18\%$, $b = 20\%$, $p = 1$.

در موارد اضافه کردن این محدودیت جا به جایی، علاوه بر افزایش ضرایب R , ضرایب R_c و R_d نیز افزایش می‌یابند.

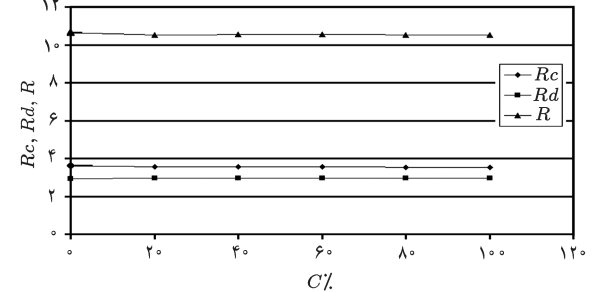
۸.۶ مقایسه‌ی مهاربندی‌های ضربدری با Δ شکل در سازه‌های بیشتر از ۶ طبقه، قاب‌ها با مهاربندی Δ شکل ضرایب رفتاری بزرگ‌تر از ضرایب رفتار قاب‌های مهاربندی شده ضربدری دارد. در قاب‌های ۴ و ۶ طبقه، ضرایب R تقریباً تغییری نکرده ولی در قاب ۲ طبقه، قاب مهاربندی شده ضربدری، ضرایب رفتار بزرگ‌تری دارد. ضرایب R_d در قاب‌های مهاربندی شده ضربدری بیشتر از مهاربندی Δ شکل است. این نتیجه برای قاب ۱۵ طبقه متفاوت است. نتایج بدست آمده در نمودارهای (۱) الی (۹) خلاصه شده است.



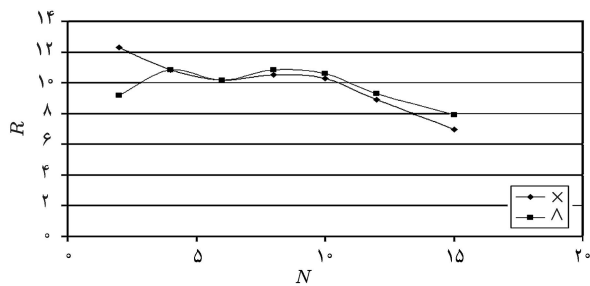
نمودار ۱. بررسی ضرایب R_c, R_d, R با تغییرات تعداد طبقات مهاربندی ضربدری.



نمودار ۲. بررسی ضرایب R_c, R_d, R با تغییرات عرض دهانه مهاربندی ضربدری قاب ۸ طبقه $p = 1$, $C = 18\%$, $b = 20\%$, $e = 2\%$.

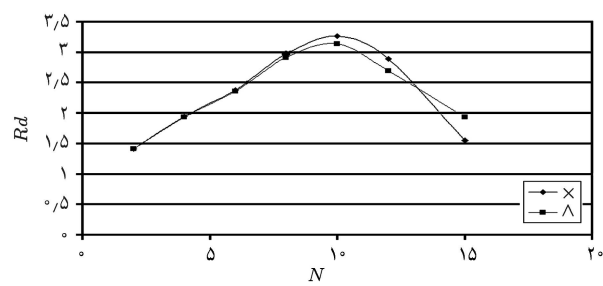


نمودار ۳. بررسی ضرایب R_c, R_d, R با تغییرات درصد گیرداری پای سطون مهاربندی ضربدری قاب ۸ طبقه با دهانه ۵ متر $p = 1$, $C = 18\%$, $b = 20\%$, $e = 2\%$.



نمودار ۹. بررسی ضریب R با تغییرات تعداد طبقات برای مهاربندی ضربدری و ۸ شکل ۱/۵، $C = ۰.۲۰$ ، $b = ۰.۲۰$ ، $p = ۱$.

با توجه به سطوح عملکرد سازه و نتایج بدست آمده به نظر می‌رسد که فاصله‌ی کمینه‌ی دو سازه از یکدیگر — که در آیین‌نامه‌ی زلزله‌ی ۲۸۰ ایران (۱۳۷۶) ۱۱٪ ارتفاع سازه در نظر گرفته شده است — کم باشد و ممکن است باعث برخورد دو سازه به یکدیگر شود. شایان ذکر است که روش‌های متفاوتی برای محاسبه‌ی ضریب رفتار وجود دارد که می‌توانند نتایج نسبتاً متفاوتی داشته باشند. نتایج تحلیل تاریخچه‌ی زمانی زلزله نیز می‌توانند تغییراتی در این ضریب ایجاد کنند، ولی آنچه واضح است پراکنده‌ی مقدار ضریب رفتار با توجه به پارامترهای مختلف سازه است.



نمودار ۱۰. بررسی ضریب Rd با تغییرات تعداد طبقات برای مهاربندی ضربدری و ۸ شکل ۱/۵، $C = ۰.۲۰$ ، $b = ۰.۲۰$ ، $p = ۱$.

نتیجه‌گیری

با نتایج بدست آمده مشاهده می‌شود که ضریب رفتار سازه‌های کمتر از ۱۵ طبقه در بیشتر موارد از ضرایب ذکر شده در آیین‌نامه‌ها بیشتر است (به خصوص در آیین‌نامه‌ی ایران که این ضریب معادل ۶ در نظر گرفته شده است).

نتیجه‌ی دیگر این است که استفاده از یک ضریب ثابت (عدد ۶) برای کلیه‌ی سازه‌های مهاربندی شده‌ی هم محور فولادی (با قاب ساده) کار درستی نیست و در بیشتر موارد سازه غیراقتصادی و در اندازی موارد نیز ممکن است ضریب اطمینان خوبی در برابر رفتار زلزله نداشته باشد.

منابع

- سازمان مدیریت و برنامه‌ریزی. «دستورالعمل بهسازی لرزه‌ی ساختمان‌های موجود»، پژوهشگاه بین‌المللی زلزله، (خرداد ۱۳۸۱).
- سازمان مدیریت و برنامه‌ریزی. «تفسیر دستورالعمل بهسازی لرزه‌ی ساختمان‌های موجود»، پژوهشگاه بین‌المللی زلزله، (مهر ۱۳۸۱).
- Freeman, S. A., "On The correlation of code force to earthquake demands", Proc. Of The 4th U. S. – Japan Workshop on Improvement of Building Structural Design and Construction Practices, ATC 15-3 (1990).
- Lee, D. G., Song, J. K and Yun, C. B., "Estimation of System – Level Ductility Demands for Multi Story Structures", *J. of Engineering Structures*, **19**, (12), pp. 1025-1033 (1997).
- غفوری، مهدی. «محاسبه ضریب رفتار سازه‌های مهاربندی شده هم محور فولادی»، پایان‌نامه‌ی کارشناسی ارشد، دانشکده فنی، دانشگاه تهران، شهریور ۱۳۸۲).